

ЛИТЕРАТУРА

1. А. Г. Мержанов, Ю. А. Гальченко, и др. В сб. «Горение и взрыв» (Материалы 3-го Всесоюз. симпозиума по горению и взрыву). М., «Наука», 1972.
2. R. Friedman, A. Masek. Combust. flame, 1962, 6.
3. Я. Х. Бур. Динамический характер адсорбции. Пер. с англ. М., 1962.
4. Б. И. Хайкин, В. Н. Блошенко, А. Г. Мержанов. ФГВ, 1970, 6, 4.

УДК 662.58

ЗАЖИГАНИЕ КОНДЕНСИРОВАННЫХ ВВ НАКАЛЕННЫМ ТЕЛОМ КОНЕЧНЫХ РАЗМЕРОВ

У. И. Гольдшлегер, К. В. Прибыткова, В. В. Барзыкин
(Москва)

Закономерности воспламенения за счет контакта взрывчатого вещества с нагретым инертным телом представляют интерес главным образом в связи с проблемой чувствительности ВВ к механическим воздействиям. Наиболее распространенной концепцией в теории чувствительности является принятие тепловой природы возбуждения взрыва. Считается [1], что при различных механических воздействиях возникают (за счет диссипации энергии внешнего воздействия) локальные очаги разогрева, из которых и развивается взрыв. Не вдаваясь в механизм возникновения очагов, можно разделить их по формальному признаку на две группы — реагирующие и инертные. В первом случае имеет место локальный разогрев ВВ, приводящий к очаговому тепловому взрыву [2]. В случае инертных очагов, возникающих, например, за счет адиабатического сжатия газовых включений при трении ВВ о твердые частички и т. п., процесс развивается вблизи поверхности контакта горячего инертного вещества и холодного ВВ, т. е. является процессом зажигания.

Задача о зажигании ВВ накаленным телом представляет интерес в связи с изучением зажигания дисперсным потоком [3] для оценки роли внедрения частиц в поверхность воспламеняемого вещества.

В работе [4] численными методами был рассмотрен один из предельных случаев — зажигание инертной пластиной с плохой теплопроводностью. Другой предельный случай (поджигающее тело с хорошей теплопроводностью) изучался в работе [5]. Приближенный расчет основных характеристик процесса предложен в [4, 6].

В данной работе с помощью ЭВМ решена задача о зажигании ВВ накаленным телом симметричной формы (пластина, цилиндр, сфера) в широком интервале изменения параметров.

Постановка задачи обычна для теории зажигания. В безграничное вещество, способное к экзотермическому превращению в конденсированной фазе, помещается инертное накаленное тело с характерным размером $2r$. В начальный момент температура взрывчатого вещества — T_n , температура накаленного тела — T_0 . Выгорание не учитывается, т. е. вырожденные режимы [7] не рассматриваются. Величины, характеризующие теплофизические свойства (теплопроводность, теплоемкость,

плотность) приводимых в контакт тел, химическую реакцию (энергия активации, тепловой эффект реакции, предэкспонент) в веществе в ходе процесса, принимаются постоянными.

Математически задача сводится к решению следующей системы дифференциальных уравнений, записанной в безразмерном виде.

Уравнение распространения тепла в реагирующем веществе:

$$\frac{\partial \theta}{\partial \tau} = \frac{1}{\delta^2} \left[\frac{\partial^2 \theta}{\partial \xi^2} + \frac{n}{\xi} \frac{\partial \theta}{\partial \xi} \right] + \exp \frac{\theta}{1 + \beta \theta}; \quad 1 < \xi < \infty. \quad (1)$$

Уравнение распространения тепла в поджигающей среде:

$$\frac{\partial \theta_1}{\partial \tau} = \frac{k_\lambda b}{\delta^2} \left[\frac{\partial^2 \theta_1}{\partial \xi^2} + \frac{n}{\xi} \frac{\partial \theta_1}{\partial \xi} \right]; \quad 0 < \xi < 1. \quad (2)$$

Начальные и граничные условия:

$$\tau = 0, \quad \theta_1 = 0, \quad \theta = -\theta_n; \quad (3)$$

$$\xi = 0, \quad \frac{\partial \theta}{\partial \xi} = 0, \quad \xi \rightarrow \infty, \quad \theta = -\theta_n; \quad (4)$$

$$\xi = 1, \quad \theta_1 = \theta, \quad k_\lambda \frac{\partial \theta_1}{\partial \xi} = \frac{\partial \theta}{\partial \xi}. \quad (5)$$

Для случая $k_\lambda \rightarrow \infty$ вместо уравнения (2) и граничных условий (5) получаем

$$\xi = 1, \quad \frac{\partial \theta}{\partial \tau} = \frac{(n+1)}{\delta^2} b \frac{\partial \theta}{\partial \xi}, \quad \theta_1 = \theta. \quad (6)$$

Здесь

$$\theta = \frac{E}{RT_0^2} (T - T_0); \quad \xi = \frac{x}{r}; \quad \beta = \frac{RT_0}{E};$$

$$\tau = t \frac{Qk_0}{c\rho} \frac{E}{RT_0^2} \exp(-E/RT_0);$$

$$\delta = r \left[\frac{Qk_0}{\lambda} \frac{E}{RT_0^2} \exp(-E/RT_0) \right]^{1/2};$$

$$k_\lambda = \frac{\lambda_1}{\lambda}; \quad b = \frac{c\rho}{c_1\rho_1}; \quad \theta_n = \frac{E}{RT_0^2} (T_0 - T_n);$$

x — координата; t — время; T — температура; Q — тепловой эффект реакции; E — энергия активации; λ , c , ρ — коэффициенты теплопроводности, теплоемкости и плотности соответственно; n — показатель формы; индекс «1» относится к поджигающему телу.

Исходная система уравнений решалась численно на ЭВМ. В результате были получены нестационарные поля температур $\theta(\xi, \tau, \theta_n, k_2, b, \beta, \delta, n)$, из которых определялись основные характеристики процесса зажигания. Диапазон изменения параметров: $\theta_n = 7,5-25$; $\delta = \delta_{кр} - \infty$; $0,01 < \beta < 0,9/\theta_n$; $k_\lambda = 0,1-\infty$; $b = 0,05-100$; $n = 0, 1, 2$.

На рис. 1 приведена временная зависимость температуры θ_s на границе раздела сред инертный очаг — реагирующее вещество при различных значениях параметра δ . Температура в месте контакта θ_s мгновенно принимает некоторое значение θ_{s1} и при достаточно больших значениях δ постоянна в течение всего процесса зажигания. С уменьшением δ θ_s на поверхности уменьшается со временем (скорость падения температур определяется запасом тепла в очаге, а также теплофизическими и кинетическими свойствами приводимых в контакт тел), а затем взрывообразно растет. И наконец, при размерах очага

$\delta < \delta_{кр}$ зажигания не происходит. Поскольку в настоящей постановке задачи возможен адиабатический режим, под зажиганием понимается процесс, время развития которого намного меньше адиабатического периода индукции при начальной температуре θ_n .

Поскольку переход от режима зажигания к режиму адиабатического воспламенения происходит непрерывно, то возникают затруднения в выборе $\delta_{кр}$. Анализ зависимостей $\tau_3(\delta)$ показал, что в качестве критерия для определения $\delta_{кр}$ можно выбрать условие $\frac{\Delta\tau_3}{\Delta\delta} \gg 1$.

Действительно (рис. 2, б), при значениях, близких к $\delta_{кр}$, небольшому изменению размера очага соответствует значительное изменение времени задержки зажигания.

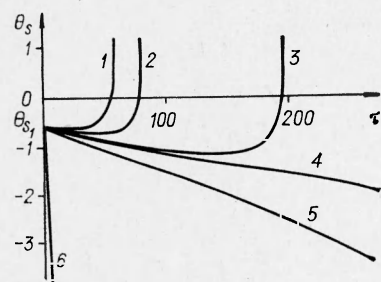


Рис. 1. Зависимость $\hat{\theta}_s$ от τ для различных δ при $\theta_n = -10$, $\beta = 0,01$; $k_\lambda = 20$; $b = 0,06$; $n = 2$.
1 — $\delta = 1000$; 2 — $\delta = 30$; 3 — $\delta = 21$; 4 — $\delta = 20$; 5 — $\delta = 19$; 6 — $\delta = 21$ — теплообмен с инертной средой.

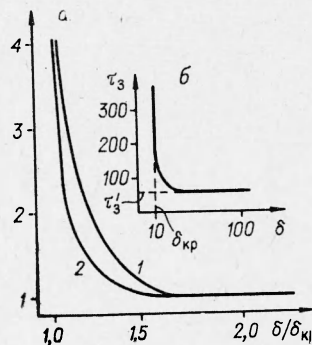


Рис. 2. Зависимость τ_3 / τ_3^I от $\delta / \delta_{кр}$ (а), и зависимость τ_3 от δ для цилиндра при $\theta_n = -10$; $\beta = 0,01$; $k_\lambda \rightarrow \infty$; $b = 0,1$ (б).
1 — сфера; 2 — плоскость.

В работах [7, 8] было показано, что при кондуктивном нагреве поверхности характеристики зажигания с большой точностью могут быть описаны с помощью формул, полученных для случая зажигания при постоянной температуре поверхности, в качестве которой следует взять температуру контакта двух тел, известную из теории теплопроводности

$$T_{s_1} = (T_0 - T_n) \frac{k_c}{1 + k_\epsilon} + T_n,$$

где $k_\epsilon = \left(\frac{\lambda_1 c_1 \rho_1}{\lambda c \rho} \right)^{1/2}$ — отношение тепловых активностей.

Из рис. 2 видно, что для рассматриваемого случая этот вывод справедлив, начиная с некоторого $\delta / \delta_{кр}$. С увеличением $\delta / \delta_{кр}$ время τ_3 стремится к τ_3^I [8],

$$\tau_3^I = 0,2\theta_{s_1} (\theta_{s_1} + 8), \quad (7)$$

где

$$\theta_{s_1} = \frac{E}{RT_{s_1}^2} (T_{s_1} - T_n).$$

С точностью $\sim 5\%$ $\tau_3 / \tau_3^I \rightarrow 1$ при $\delta / \delta_{кр} > 1,8$, что соответствует повышению температуры очага над критической примерно на половину температурного интервала ($\sim 10^\circ$).

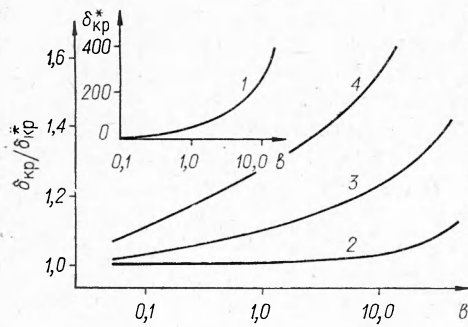


Рис. 3. Зависимость $\delta_{кр}^*$ и $\delta_{кр}/\delta_{кр}^*$ от b при $\theta_H = -10$; $\beta = 0,01$, $n = 0$.
 1 - $k_\lambda \rightarrow \infty$; 2 - $k_\lambda = 100$; 3 - $k_\lambda = 10$; 4 - $k_\lambda = 1$.

Наибольший интерес в рассматриваемой задаче представляет нахождение критических условий. На рис. 3 приведены характерные зависимости $\delta/\delta_{кр}^*$ от b при различных значениях k_λ ; δ^* соответствует зажиганию ВВ очагом бесконечной теплопроводности ($k_\lambda \rightarrow \infty$). Анализ приведенных зависимостей указал на существование трех предельных режимов.

- 1) $b \rightarrow 0$, $k_\lambda > 0$ (бесконечная теплоемкость очага). Зажигание происходит при любом размере очага ($\delta_{кр} \rightarrow 0$);
- 2) $b \rightarrow \infty$, $k_\lambda > 0$ (теплосодержание очага бесконечно мало) — $\delta_{кр} \rightarrow \infty$, воспламенение происходит в адиабатическом режиме;
- 3) $k_\lambda \rightarrow 0$, $b > 0$, тепловой поток $\cdot k_\lambda \frac{\partial \theta}{\partial \xi} \Big|_{\xi=1} \rightarrow 0$, а воспламенение происходит в адиабатическом режиме.

Следует отметить, что случаю $k_\lambda \rightarrow \infty$ соответствует достаточно большая область $k_\lambda > 100$, в которой критический размер очага практически не зависит от k_λ и $\delta_{кр} = \delta_{кр}^*$ (см. рис. 3).

Зависимость $\delta_{кр}$ и $\delta_{кр}^*$ от параметров θ_H , β , k_λ , b , n может быть представлена приближенными формулами:

$$\delta_{кр}^* = 0,4 \sqrt{b^2 + 0,25n(n+1)(b + 0,1b^3)} [\theta_H + 2,25(n-1)^2 [1 + 0,5\beta\theta]] \quad (8)$$

$$\delta_{кр} = \delta_{кр}^* \left[1 + \frac{(\theta_H - 3)^2 b (n + 1)}{30k_\lambda^{2/3} (1 + 3b^{2/3})} \right] \quad (9)$$

Формулы подобраны с ошибкой, не превышающей 10%, в следующем диапазоне изменения параметров: $\theta_H = 7,5 - 25$; $\beta = 0,01 - 0,9/\theta_H$; $n = 0, 1, 2$; $k_\lambda = 1 - \infty$; $b = 0,05 - 10$, а для $k_\lambda = 0,1 - 1$; $b = 10 - 100$, точность расчета $\delta_{кр}$ по (8), (9) $\sim 20\%$.

Сопоставление некоторых результатов численного интегрирования, а также расчета $\delta_{кр}$ по формулам (8), (9) с результатами¹, полученными

n	θ_H	k_λ	b	$\delta_{кр}$				
				ЭВМ	по формулам (8),(9)	ЭВМ [5]	прибл. [6]	прибл. [4]
0	10	∞	0,1	2,4	2,5	3,1	3,2	2,9
	10	∞	1,0	25	25	31	32	29
	10	∞	10	258	250	—	320	290
	10	∞	100	2900	2500	—	3200	2900
	10	1,0	0,1	2,7	2,8	—	4,5	3,7
	10	1,0	1,0	33	36	—	46	38
	10	1,0	10	405	387	—	465	525
2	7,5	∞	0,1	15,8	15,8	16,9	19,2	—
	15	∞	0,1	54,2	51,2	53,7	78,4	—
	25	∞	0,1	141	134	133	256	—
	10	1,0	1,0	212	227	—	304	—
	10	1,0	1,0	127	128	—	183	—
	10	∞	1,0	100	103	108	139	—

¹ Сравнение с результатами численного счета [4] затруднено, так как в работе не указан диапазон изменения параметра k_λ .

с помощью приближенных методов [4, 6], а также численным расчетом при $k_{\lambda} \rightarrow \infty$ [5], приведено в таблице, откуда видно, что $\delta_{кр}$, рассчитанные приближенными методами [4, 6], находятся в удовлетворительном соответствии с результатами численного счета данной работы и [5]. Отметим, что расчет по этим приближенным методам для случаев цилиндрической ($n=1$) и сферической ($n=2$) форм требует численного интегрирования.

Полученные результаты представляют определенный интерес в связи с проблемой чувствительности ВВ к механическим воздействиям.

В работе [1] обсуждался вопрос о механизме возбуждения нитроглицерина твердыми частицами. Ниже приведен расчет по формулам (8), (9) критической температуры очага в зависимости от размера. Исходные кинетические и теплофизические характеристики для нитроглицерина ВВ, согласно [1], таковы: $E=48\,000$ кал/моль; $Qk_0=5 \cdot 10^{22}$ кал/(с·см³); $c=0,3$ кал/(г·град); $\rho=1,4$ г/см³; $\lambda=4 \cdot 10^{-4}$ кал/(см·с·град); для карборунда (поджигающее тело): $c=0,18$ кал/(г·град), $\rho=2,3$ г/см³, $\lambda=2 \cdot 10^{-3}$ кал/(с·см·град).

d , мк	100	50	10	0,5
$\tilde{T}_{кр}$, °C	391	448	519	639

Результаты расчетов находятся в хорошем качественном соответствии с экспериментальными данными, полученными в [1], где показано, что крупные частицы карборунда (~ 100 мк) вызывают образование очагов разогрева эффективнее (частотность взрыва 100%), чем мелкие (0,5—10 мк), экспериментально измеренные температуры очага $\sim 500^\circ\text{C}$.

Аналогичные расчеты были проведены для случая, когда в нитроглицерине находится пузырек газа. Возбуждение взрыва ВВ в этом случае может быть связано с адиабатическим сжатием и нагревом газа при ударе. В [1] даны экспериментально определенные значения температур при ударном сжатии для некоторых газов. Так, например, для воздуха $T_{кр}=800^\circ\text{C}$. Однако расчеты показали, что при воспламенении нитроглицерина пузырьком воздуха с начальным диаметром 1 мм критические значения температур значительно выше — $T_{кр}=1200^\circ\text{C}$. Полученные результаты подтверждают высказанную в [1] гипотезу о том, что воспламенение при адиабатическом сжатии пузырька произойдет в том случае, если воздушные включения содержат ВВ в виде пара или мелких капель.

Поступила в редакцию
5/VII 1972

ЛИТЕРАТУРА

1. Ф. Боуден, А. Иоффе. Возбуждение и развитие взрыва в твердых и жидких веществах. М., ИЛ, 1955; Быстрые реакции в твердых веществах. М., ИЛ, 1962.
2. A. G. Merzhanov. Comb. and flame, 1966, 10, 4.
3. У. И. Гольдшлегер, В. В. Барзыкин, А. Г. Мержанов. ФГВ, 1971, 7, 2.
4. В. Н. Виллюнов, А. К. Колчин. ФГВ, 1966, 2, 3.
5. А. М. Гришин, А. Н. Субботин. IV Всесоюз. совещ. по тепло- и массообмену. Т. 2. Минск, 1972.
6. А. Э. Аверсон, В. В. Барзыкин, А. Г. Мержанов. ИФЖ, 1965, 9, 2.
7. A. G. Merzhanov, A. E. Averson. Comb. and flame, 1971, 16, 1.